

C. 研究結果

表6に同時多項目免疫アッセイで解析した利根町縦断研究の血清サンプル解析結果のまとめを示す。

表6 利根町縦断研究における ApoE, ApoAI, TTR, Complement C, MIP4 タンパク質の血清濃度

| | NDC → NDC (n = 20) | NDC → MCI (n = 15) | MCI → MCI (n = 9) | p value |
|-----------------------|-----------------------|-----------------------|----------------------|---------|
| ApoE level (mg/ml) | | | | |
| 2005 | 108.5 ± 35.6 | 102.8 ± 32.5 | 123.5 ± 21.9 | 0.212 |
| 2008 | 83.3 ± 19.1** | 87.5 ± 31.7 | 64.7 ± 13.8*** | 0.07 |
| ApoA1 level (mg/ml) | | | | |
| 2005 | 1687.4 ± 593.0 | 1869.2 ± 428.5 | 2016.9 ± 257.7 | 0.226 |
| 2008 | 1315.3 ± 444.6** | 1311 ± 454.1** | 1322.2 ± 187 *** | 0.996 |
| C3 level (mg/ml) | | | | |
| 2005 | 100.4 ± 52.2 | 104.3 ± 40.4 | 62.1 ± 63.1 | 0.056 |
| 2008 | 71.6 ± 32.6* | 75.7 ± 37.6 | 56.5 ± 22.7 | 0.112 |
| C4 level (mg/ml) | | | | |
| 2005 | 34.7 ± 20.6 | 38.7 ± 32.4 | 29.5 ± 35.7 | 0.945 |
| 2008 | 69.1 ± 24.0*** | 66.6 ± 22.0* | 75.8 ± 42.2 | 0.753 |
| TTR level (mg/ml) | | | | |
| 2005 | 299.3 ± 58.7 | 307.6 ± 95.5 | 298.8 ± 57.4 | 0.953 |
| 2008 | 288.7 ± 69.2 | 278.2 ± 108.1 | 210.9 ± 30.0* | 0.001 |
| MIP4 level (mg/ml) | | | | |
| 2005 | 0.12 ± 0.06 | 0.12 ± 0.06 | 0.11 ± 0.08 | 0.957 |
| 2008 | 0.11 ± 0.06 | 0.12 ± 0.06 | 0.08 ± 0.05 | 0.609 |

D. 考察

同時多項目免疫アッセイ (Liminex) 法による、地域介入縦断研究の時系列血清サンプルにの解析では、補体などの炎症関連タンパク質 (C3, C4) 、トランスサイレチン、アポリポプロテインA-I、アポリポプロテインE、Macrophage inflammatory protein-4 (MIP-4) の変動を明らかにした。その中には、認知機能の低下だけでなく加齢によって血清中の量が変動するものもあった。

4. LC-MS/MS SRM (MRM)法における血清前処理条件の検討、前処理方法の検討

A. 研究目的

2D-LC-MALDI TOF MS/MSと半定量比較解析を用いた認知症バイオマーカー探索研究(スクリーニング研究)において、健常人と認知症 (MCI, AD) を識別するバイオマーカー候補ペプチドを見いだし、バイオマーカー候補ペプチドのアミノ酸配列の決定および、バイオマーカー候補ペプチドの帰属タンパク質を同定した。この認知症バイオマーカー候補の臨床有効性の検証・評価を行うためには、スクリーニングで用いた方法とは異なる計測手法で行うことが重要である。また本研究では、横断研究と縦断研究においてバイオマーカーペプチドの解析（計測）に高速LC-MS/MS SRM (MRM)法を用いる。これによってハイスループットに多少となる複数のバイオマーカーペプチドの同時計測が可能になる。そこで本年度は、その準備として、21種類のバイオマーカーについて高速LC-MS/MS SRM (MRM)法の条件検討を行った。

B. 研究方法

LC-MS/MS SRM (MRM)法は、イオントラップ型三連四重極を用いたMRM法による定量分析であり、超高速液体クロマトグラフィーUFLCと組み合わせたMRM アッセイは生体サンプル中の複数のマーカーを高い分離性と選択性で定量分析が可能である。また、MRMアッセイは2D-LC-MALDI TOF MS/MSと比べて定量のスループットが格段に高く、大規模サンプルの定量分析に高い能力を持つ。

LC-MS/MS SRM (MRM)法について以下の研究開発項目について研究を実施する。

MRMアッセイの開発①～③を行い、④の臨床有効性研究によって、認知症バイオマーカーのMCI、早期ADの診断における臨床有効性を明らかにする。

- ① MRMトランジッション作成。
- ②認知症バイオマーカー候補ペプチドの（高感度）検出のための、血清サンプルの前処理方法の検討。
- ③検出限界と定量下限と再現性の検討。
- ④ 認知症バイオマーカー候補の臨床有効性の評価。図12にLC-MS/MS SRM (MRM)法の原理を示す。ペプチド（タンパク質）の定量は、プリーサーイオンではなく、フラグメントイオンで行う。

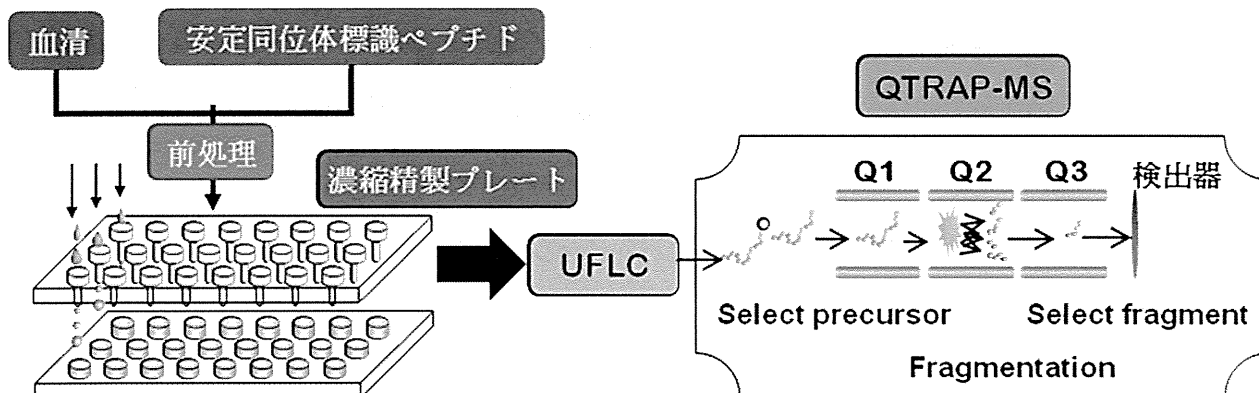


図12 LC-MS/MS SRM (MRM)法の原理

C. 研究結果

本研究では、バイオマーカーペプチドの解析（計測）にはLC-MS/MS SRM (MRM)

法を用いることから、そのための血清前処理条件の検討、前処理方法について研究開発を行った。特にLCで分析するまでの簡便な前処理方法の確立は、次年度以降実施する臨床研究では必要であり、そのための条件検討を行い、最適化が終了した。

① MRMトランジッショング作成

図13にMRMトランジッショングのパラメータを示す。これらの最適化の設定を21種類のバイオマーカーペプチドについて行なった。

| | | |
|-----|-----------------------------------|---|
| Q1 | <i>m/z</i> of precursor ion | Precursor ion (ペプチド)の <i>m/z</i> |
| Q3 | <i>m/z</i> of fragment ion | Fragment ion (ペプチドを MS/MS したときに検出される特徴的なフラグメント)の <i>m/z</i> |
| CE | Collision Energy | ペプチドを開裂するときのエネルギー(V) |
| DP | Declustering Potential | ESI プローブからオリフィスプレートへの引き込み電圧(V) |
| EP | Entrance Potential | オリフィスから Q1 ロッドへの引き込み電圧 (V) |
| CEP | Collision Cell Entrance Potential | Q1 ロッドからコリジョンセル(Q2)への引き込み電圧 (V)。この電圧状態で安定なイオン(Precursor ion)がコリジョンセルに導入される。 |
| CXP | Collision Cell Exit Potential | コリジョンセル(Q2)の出口にかかる電圧 (V)。この電圧状態で安定なイオン(Fragment ion)が検出器へと通過する。 |

図13 MRMトランジッショングのパラメータ

②認知症バイオマーカー候補ペプチドの（高感度）検出のための、血清サンプルの前処理方法の検討。

MRM アッセイ開発において、血清サンプルの前処理は Oasis MAX μ Elution plate を使用していた。MAX で前処理した後、MRM 分析を行ったところ、検出されなかった認知症マーカーが 6 種類あった。そこで Oasis HLB plate を用いたところすべてのペプチドの検出ができた。これは疎水性残基が担体に結合した固相プレートであり、単純にペプチドやその他の生体マトリックスの疎水性度の違

いで分画する。

③検出限界と定量下限と再現性の検討

各バイオマーカーペプチドを標準血清にスパイクし、MRMアッセイを行った。本年度は、一部のバイオマーカーペプチドについて終了した。

④認知症バイオマーカー候補の臨床有効性の評価—利根町縦断研究サンプルを用いて

知的健常 (NDC: Before onset) からMCI (After onset) 、アルツハイマー病 へと至った縦断研究症例におけるマーカーの推移を示す。補体タンパク質由来のペプチド（図14左）ならびにタンパク質レベルの変化（図14右）。横軸はサンプルの種類（MCI発症前後）、縦軸は血清中の濃度を示す。発症前が2005年、発症後が2008年である。

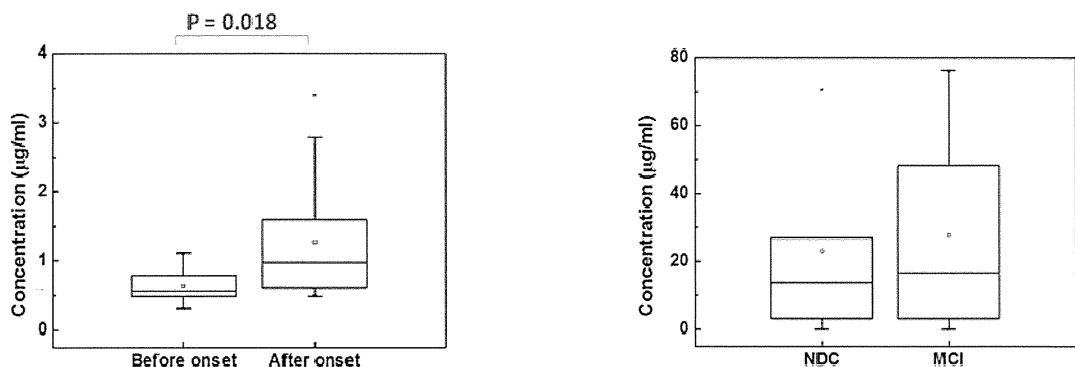


図14 利根町縦断研究サンプルを用いた補体タンパク質と由来ペプチドの定量

D. 考察

前処理については、2つの方法でバイオマーカーペプチドが定量出来ることがわかった。MAX μ Elution plateで検出出来なかった理由として、陰イオン交換基が担体に結合した固相プレートであり、認知症マーカーのペプチドとしての性質(酸性ペプチド、塩基性ペプチド、疎水性ペプチド)によってMAX μ Elution plateに吸着しなかったり、吸着後の洗浄で失われたと考えられた。

利根町縦断研究サンプルを用いた補体タンパク質と由来ペプチドの定量においては、バイオマーカーペプチドで有意差がでており、タンパク質よりもその分解産物を解析することが必要である。次年度以降、バイオマーカーペプチドを用いたMRM法による臨床サンプルの解析を進める。

III. 研究成果の刊行に関する一覧表

III. 研究成果の刊行に関する一覧表

雑誌

| 発表者氏名 | 論文タイトル名 | 発表誌名 | 巻号 | ページ | 出版年 |
|--|---|-------------|-----|---------|----------|
| Takase H, Matsumoto K, Yamadera R, Kubota Y, Otsu A, Suzuki R, Ishitobi H, Mochizuki H, Kojima T, Takano S, <u>Uchida K</u> , Takahashi S, Ema M. | Genome-wide identification of endothelial cell-enriched genes in the mouse embryo. | Blood | | | in press |
| Kusakabe M, Hasegawa K, Hamada M, Nakamura M, Ohsumi T, Suzuki H, Tran MT, Kudo T, <u>Uchida K</u> , Ninomiya H, Chiba S, Takahashi S. | c-Maf plays a crucial role for the definitive erythropoiesis that accompanies erythroblastic island formation in the fetal liver. | Blood | 118 | 1374-85 | 2011 |
| Yahata N, Asai M, Kitaoka S, Takahashi K, Asaka I, Hioki H, Kaneko T, Maruyama K, Saido TC, Nakahata T, <u>Asada T</u> , Yamanaka S, Iwata N, Inoue H. | Anti-A β Drug Screening Platform Using Human iPS Cell-Derived Neurons for the Treatment of Alzheimer's Disease. | PLoS One | 6 | e25788 | 2011 |

| | | | | | |
|---|--|---------------------------|----|---------|------|
| Hidaka S, Ikejima C, Kodama C, Nose M, Yamashita F, Sasaki M, Kinoshita T, Tanimukai S, Mizukami K, Takahashi H, Kakuma T, Tanaka S, Asada T. | Prevalence of depression and depressive symptoms among older Japanese people: comorbidity of mild cognitive impairment and depression. | Int J Geriatr Psychiatry. | 27 | 271-279 | 2011 |
| Yasuno F, Tanimukai S, Sasaki M, Hidaka S, Ikejima C, Yamashita F, Kodama C, Mizukami K, Michikawa M, <u>Asada T.</u> | Association between Cognitive Function and Plasma Lipids of the Elderly After Controlling for Apolipoprotein E Genotype. | Am J Geriatr Psychiatry. | 40 | 2709-14 | 2011 |
| Ota M, Nemoto K, Sato N, Mizukami K, Yamashita F, <u>Asada T.</u> | Relationship between white matter T2 hyperintensity and cortical volume changes on magnetic resonance imaging in healthy elders. | Int J Geriatr Psychiatry. | 26 | 886 | 2011 |
| Yasuno F, Tanimukai S, Sasaki M, Ikejima C, Yamashita F, Kodama C, Hidaka S, <u>Mizukami K,</u> <u>Asada T.</u> | Effect of plasma lipids, hypertension and APOE genotype on cognitive decline. | Neurobiol Aging. | | 26 | 2012 |
| Hidaka S, Ikejima C, Kodama C, Nose M, Yamashita F, Sasaki M, Kinoshita T, Tanimukai S, <u>Mizukami K,</u> Takahashi H, Kakuma T, Tanaka S, <u>Asada T.</u> | Prevalence of depression and depressive symptoms among older Japanese people: comorbidity of mild cognitive impairment and depression. | Int J Geriatr Psychiatry. | 27 | 271-9 | 2012 |

| | | | | | |
|--|--|---------------------|----|-----|------|
| Mizukami K, Ishikawa M, Akatsu H, Abrahamson EE, Ikonomovic MD, Asada T. | An immunohistochemical study of the serotonin 1A receptor in the hippocampus of subjects with Alzheimer's disease. | Neuropat hology. | 31 | 503 | 2011 |
|--|--|---------------------|----|-----|------|

